

МАТЕМАТИЧЕСКАЯ МОДЕЛЬ АЛГОРИТМОВ ПЕЛЕНГОВАНИЯ ИСТОЧНИКОВ РАДИОИЗЛУЧЕНИЯ ФАЗО-КОРРЕЛЯЦИОННЫМИ ПЕЛЕНГАТОРАМИ С ПРОСТРАНСТВЕННЫМ РАСПРЕДЕЛЕНИЕМ ЭЛЕМЕНТОВ ПЕЛЕНГАЦИОННОЙ РЕШЕТКИ

Ю.Т. Карманов, И.И. Залицкая

MATHEMATICAL MODELS OF ALGORITHMS FOR DIRECTION FINDING OF RADIO-FREQUENCY RADIATION SOURCES BY PHASE CORRELATION DIRECTION FINDERS WITH SPATIAL DISTRIBUTION OF DIRECTION FINDING ARRAY ELEMENTS

Yu.T. Karmanov, I.I. Zalyatskaya

Разработана математическая модель алгоритмов пеленгования источников радиоизлучения (ИРИ) фазо-корреляционного пеленгатора с произвольным распределением в пространстве элементов пеленгационной антенной решетки, учитывающая влияние мешающих факторов в виде неидентичностей каналов и шумов приемных трактов.

Ключевые слова: алгоритм пеленгования, модель, пеленгационная антенная решетка.

Mathematical model of algorithms for direction finding of radio-frequency radiation sources of a phase-correlation direction finder with random spatial distribution of elements by direction finding antenna arrays, taking into account the influence of disturbances in the form of non-identicality of channels and receive paths noises, is developed.

Keywords: algorithm for direction finding, model, direction finding antenna array.

Введение

Цифровые технологии обработки СВЧ-радиосигналов позволяют реализовать пеленгацию источника радиоизлучения (ИРИ) в широком частотном диапазоне при произвольном расположении элементов пеленгационной антенной решетки в пространстве. Это упрощает размещение таких пеленгаторов на малоразмерных объектах (самолеты, дистанционно пилотируемые летательные аппараты, ракеты и т. д.) и создает предпосылки для повышения качества их функционирования.

Вместе с тем при проектировании таких пеленгаторов возникают трудности при исследовании алгоритмов пеленгования из-за отсутствия математических моделей в виде совокупности расчётных соотношений, описывающих процесс пеленгации с учетом произвольного расположения элементов пеленгационной решетки и наличия неидентичностей каналов и внутренних шумов приемного тракта.

В настоящей статье приводится описание одного из вариантов математической модели процесса пеленгования ИРИ.

Постановка задачи

В пространстве выбрана заданная система декартовых координат $ZXYc$ началом в точке О ($z=0, x=0, y=0$).

В пространстве действует ИРИ на длине волны λ . ИРИ расположен в точке $M_u(z=z_u, x=x_u, y=y_u)$.

Существует пеленгационная система в виде фазо-корреляционного пеленгатора с произвольным расположением элементов пеленгационной решетки. Она включает в себя [1]:

- опорную antennу, находящуюся в точке $M_{on}(z=z_{on}, x=x_{on}, y=y_{on})$. Диаграмма направленности опорной антенны равномерна в секторе нахождения ИРИ;

- пеленгационные измерительные antennы – N antenn в точках $M_1, M_2, M_3, \dots, M_N$ – $M_i(z=z_i, x=x_i, y=y_i)$ $i = \overline{1, N}$. Диаграммы пеленгационных antenn подобны диаграммам направленно-

Карманов Юрий Трофимович – д-р техн. наук, профессор кафедры инфокоммуникационных технологий, Южно-Уральский государственный университет; ea@drts.susu.ac.ru

Залицкая Инна Ивановна – аспирант кафедры инфокоммуникационных технологий, Южно-Уральский государственный университет; zalyatskayainna@mail.ru

Yury Trofimovich Karmanov – Doctor of Science (Engineering), professor of Information Communication Technologies Department of South Ural State University; ea@drts.susu.ac.ru

Inna Ivanovna Zalyatskaya – postgraduate student of Information Communication Technologies Department of South Ural State University; zalyatskayainna@mail.ru

сти опорной антенны – равномерные в секторе нахождения ИРИ;

– пеленгационную систему, которая в процессе пеленгации ИРИ проводит измерение фазовых сдвигов между радиосигналами, принимаемыми i -й пеленгационной антенной и опорной антенной – $\varphi_i(\Theta_u, \beta_u)$, $i = \overline{1, N}$, зависящие от азимута Θ_u и угла места β_u ИРИ;

– измеренные значения фазовых сдвигов $\varphi_i(\Theta_u, \beta_u)$, по которым в пеленгационной системе вычисляются значения $\Delta\varphi_{ij} = \varphi_i - \varphi_j$, $i \leq j$, $i = \overline{1, N}$, которые используется в пеленгационной системе для оценки значений – (Θ_u, β_u) ;

– пеленгационную систему, предварительно тестируемую, путем измерения фазовых сдвигов между радиосигналами от i -й антенны и опорной антенны $\varphi_{iT}(\Theta_T(k), \beta_T(k), \lambda_T(n))$, принимаемых тестовых ИРИ (ТИРИ), находящихся на тестовых углах $\Theta_T(k), \beta_T(k)$, $k = \overline{1, M}$ и излучающих последовательность радиосигналов с длинами волн $\lambda_T(n)$, $n = \overline{1, L_T}$. На основе тестовых значений $\varphi_{iT}(\Theta_T(k), \beta_T(k), \lambda_T(n))$ вычисляется массив значений $\Delta_T\varphi_{ij}(\Theta_T(k), \beta_T(k), \lambda_T(n)) = \varphi_{iT}(\Theta_T(k), \beta_T(k), \lambda_T(n)) - \varphi_{iT}(\Theta_T(k), \beta_T(k), \lambda_T(n))$ $j = \overline{1, N}$, $i = \overline{1, j}$, $k = \overline{1, M}$, $n = \overline{1, L_T}$. Тестовый массив хранится в базе данных пеленгационной системы и используется при вычислении пеленга ИРИ фазо-корреляционным алгоритмом.

Фазо-корреляционный алгоритм пеленгации ИРИ, который заключается [1]

а) в измерении $\varphi_i(\Theta_u, \beta_u, \lambda)$, $i = \overline{1, N}$ и вычисления по ним $\Delta\varphi_i(\Theta_u, \beta_u, \lambda) = \varphi_i(\Theta_u, \beta_u, \lambda) - \varphi_i(\Theta_u, \beta_u, \lambda)$, $i \leq j$, $i = \overline{1, N}$.

б) вычислении корреляционной суммы $I(\Theta_T(k), \beta_T(k), \lambda_T(n)/\Theta_u, \beta_u, \lambda)$, где $\lambda_T(n_\lambda)$ – тестовое значение длины волн ТИРИ ближайшее к длине волны λ пеленгуемого ИРИ (определяются по результатам измерения несущей частоты пеленгуемого сигнала) по выражению (1):

$$\left\{ \begin{array}{l} I\left(\Theta_T(k), \beta_T(k), \frac{\lambda(n_\lambda)}{\Theta_u}, \beta_u, \lambda\right) = \\ = \frac{2}{N(N-1)} \left[\left(\sum_{\substack{j=1 \\ i < j}}^N \cos \delta_{ij} \right)^2 + \left(\sum_{\substack{j=1 \\ i < j}}^N \sin \delta_{ij} \right)^2 \right], \\ \delta_{ij} = \Delta\varphi_{ij}(\Theta_u, \beta_u, \lambda) - \Delta_T\varphi_{ij}(\Theta_T(k), \beta_T(k), \lambda(n_\lambda)); \end{array} \right. \quad (1)$$

в) вычислении пеленгационного сигнала

$$T(\Theta_T(k), \beta_T(k), \lambda_T(n)/\Theta_u, \beta_u, \lambda) = -10\lg(I(\Theta_T(k), \beta_T(k), \lambda_T(n)/\Theta_u, \beta_u, \lambda)),$$

$\lambda_T(n_\lambda)$ – значение $\lambda_T(n_\lambda)$, $n = \overline{1, L_T}$ ближайшее к длине волны ИРИ – λ ;

г) в качестве оценки пеленга ИРИ Θ_u, β_u выбираются значения $\widehat{\Theta}_u = \Theta_T(k_0)$, $\beta_u = \widehat{\beta}_T(k_0)$, при которых пеленгационный сигнал $T(\Theta_T(k), \beta_T(k), \lambda_T(n_\lambda)/\Theta_u, \beta_u, \lambda)$ достигает своего абсолютного минимума,

$$T[\widehat{\Theta}_u = \Theta_T(k_0), \beta_u = \widehat{\beta}_T(k_0)] = \\ = \min_{k=\overline{1, L_T}} T(\Theta_T(k), \beta_T(k), \lambda_T(n_\lambda)/\Theta_u, \beta_u, \lambda).$$

Процессу пеленгования мешают следующие факторы:

- наличие шумов в измерительных радиоканалах пеленгатора;
- неидентичности фазовых характеристик антенн, каналов пеленгатора.

Все эти факторы приводят к появлению в измеряемых значениях φ_i паразитных фазовых сдвигов – ε_i , значения которых не связаны с измеряемыми пеленгами.

В математической модели будем полагать, что $\varepsilon_1, \varepsilon_2, \dots, \varepsilon_N$ – случайные величины.

Задача состоит в нахождении совокупности математических выражений, позволяющих вычислить пеленгационный сигнал $T(\Theta_T(k), \beta_T(k), \lambda_T(n)/\Theta_u, \beta_u, \lambda)$ по заданным характеристикам пеленгационной системы и заданным значениям $\varepsilon_1, \varepsilon_2, \dots, \varepsilon_N$, в сферической и угловой системах координат.

Описание математической модели

Математическая модель алгоритмов пеленгации в сферической системе координат

В задачах радиолокации и радионавигации используется сферическая система координат, изображенная на рис. 1.

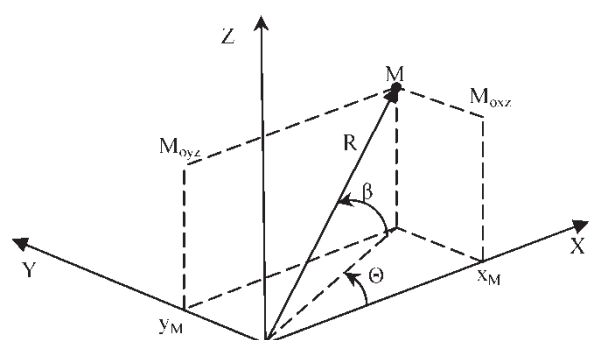


Рис. 1. Сферическая система координат

Координаты точек в сферической системе R, Θ, β связаны с декартовыми координатами соотношениями:

$$\begin{cases} x = R \cdot \cos\beta \cdot \cos\theta, \\ y = R \cdot \cos\beta \cdot \sin\theta, \\ z = R \cdot \sin\beta. \end{cases}$$

Фазовый сдвиг между радиосигналами ИРИ, принятymi i -й антенной и опорной антенной, вычисляется в сферической системе координат по выражению:

$$\begin{cases} \varphi_i(\Theta_u, \beta_u, \lambda) = 2\pi \frac{R_i - R_{on}}{\lambda} + \varepsilon_i, \\ \varphi_{iT}(\Theta_T(k), \beta_T(k), \lambda_T(n_\lambda)) = 2\pi \frac{R_i - R_{on}^*}{\lambda_T(n_\lambda)} + \varepsilon_{Ti}, \end{cases} \quad (2)$$

где R_i, R_{on} – расстояние между ИРИ и i -й измерительной и опорной антеннами.

Значения R_i, R_{on} вычисляются по выражениям:

$$\begin{cases} R_i = [(x_i - x_u)^2 + (y_i - y_u)^2 + (z_i - z_u)^2]^{1/2}, \\ R_{on} = [(x_{on} - x_u)^2 + (y_{on} - y_u)^2 + (z_{on} - z_u)^2]^{1/2}. \end{cases}$$

Заменяя в данном выражении декартовые координаты на сферические, запишем значения измеряемых φ_i и тестовых φ_{iT} :

$$\begin{aligned} \varphi_i(\Theta_u, \beta_u, \lambda) &= \frac{2\pi}{\lambda} [x_i \cos \beta_u \cos \Theta_u + \\ &\quad + y_i \sin \beta_u \cos \Theta_u + z_i \sin \beta_u] + \varepsilon_i, \\ \varphi_{1iT}(\Theta_T(k), \beta_T(k), \lambda_T(n_\lambda)) &= \\ &= \frac{2\pi}{\lambda_T(n_\lambda)} x_{iT} \cos \beta_T(k) \cos \Theta_T(k), \\ \varphi_{2iT}(\Theta_T(k), \beta_T(k), \lambda_T(n_\lambda)) &= \\ &= \frac{2\pi}{\lambda_T(n_\lambda)} y_{iT} \sin \beta_T(k) \cos \Theta_T(k) \\ \varphi_{3iT}(\Theta_T(k), \beta_T(k), \lambda_T(n_\lambda)) &= \\ &= \frac{2\pi}{\lambda_T(n_\lambda)} z_i \sin \beta_T(k), \\ \varphi_{iT}(\Theta_T(k), \beta_T(k), \lambda_T(n_\lambda)) &= \\ &= \varphi_{1iT} + \varphi_{2iT} + \varphi_{3iT} + \varepsilon_{Ti}, \end{aligned} \quad (3)$$

ε_{Ti} – случайные ошибки измерения тестовых фазовых сдвигов φ_{iT} .

Используя выражения (1) и (3), представим выражения для пеленгационного сигнала в сферической системе координат в виде:

$$\begin{aligned} \delta_{ij} &= \frac{2\pi}{\lambda} [(x_i - x_j) \cos \beta_u \cos \Theta_u + \\ &\quad + (y_i - y_j) \cos \beta_u \sin \Theta_u + \\ &\quad + (z_i - z_j) \sin \beta_u + (\varepsilon_i - \varepsilon_j)] - \\ &- \frac{2\pi}{\lambda_T(n_\lambda)} [(x_i - x_j) \cos \Theta_T(k) \cos \beta_T(k) + \\ &\quad + (y_i - y_j) \sin \beta_T(k) \cos \Theta_T(k) + \\ &\quad + (z_i - z_j) \sin \beta_T(k) + (\varepsilon_{Ti} - \varepsilon_{Tj})], \end{aligned} \quad (4)$$

$$\begin{aligned} T(\Theta_T(k), \beta_T(k), \lambda_T(n_\lambda) / \Theta_u, \beta_u, \lambda) &= \\ &= -10 \lg \left\{ \left(\sum_{\substack{j=1 \\ i < j}}^N \cos \delta_{ij} \right)^2 + \left(\sum_{\substack{j=1 \\ i < j}}^N \sin \delta_{ij} \right)^2 \right\}, \\ \lambda_T(n_\lambda) &- значение \lambda_T(n), ближайшее к \lambda. \end{aligned}$$

Математическая модель алгоритмов пеленгации в угловой системе координат

Угловая система координат используется в задачах радиоуправления летательными аппаратами. Положение точки М в угловой системе координат характеризуется координатами:

- R – расстояние от начала координат до точки М;
- α_x – горизонтальный угол линии визирования ОМ в плоскости ZOX;
- α_y – вертикальный угол линии визирования ОМ в плоскости ZOY.

Угловая система координат представлена на рис. 2.

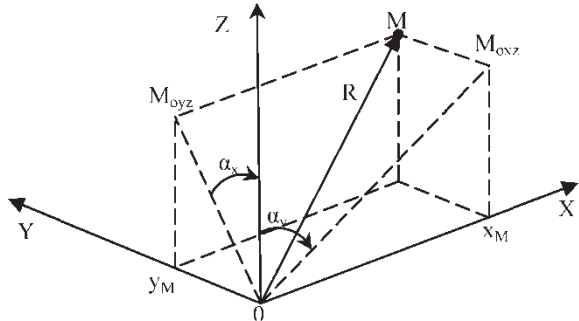


Рис. 2. Угловая система координат

Сферические координаты точки М связаны с угловыми координатами соотношениями:

$$\begin{cases} \operatorname{tg} \Theta = \frac{\operatorname{tg} \alpha_y}{\operatorname{tg} \alpha_x}, \\ |\sin \beta| = \left[1 + \operatorname{tg}^2 \alpha_x + \operatorname{tg}^2 \alpha_y \right]^{-1/2}. \end{cases}$$

Используя эти соотношения, представим выражения для пеленгационного сигнала в угловой системе координат в виде:

$$\begin{aligned} \delta_{ij} &= \frac{2\pi}{\lambda} \left[\frac{(x_i - x_j) \operatorname{tg} \alpha_x + (y_i - y_j) \operatorname{tg} \alpha_y + (z_i - z_j)}{\left[1 + \operatorname{tg}^2 \alpha_x + \operatorname{tg}^2 \alpha_y \right]^2} + \right. \\ &\quad \left. + (\varepsilon_i - \varepsilon_j) \right] - \frac{2\pi}{\lambda_T(n_\lambda)} \times \\ &\quad \times \left[\frac{(x_i - x_j) \operatorname{tg} \alpha_{Tx}(k) + (y_i - y_j) \operatorname{tg} \alpha_{Ty}(k) + (z_i - z_j)}{\left[1 + \operatorname{tg}^2 \alpha_{Tx} + \operatorname{tg}^2 \alpha_{Ty} \right]^{1/2}} + \right. \\ &\quad \left. + (\varepsilon_{Ti} - \varepsilon_{Tj}) \right], \end{aligned} \quad (5)$$

$$\begin{aligned} T[\alpha_{Tx}(k), \alpha_{Ty}(k), \lambda_T(n_\lambda) / \alpha_x, \alpha_y, \lambda] &= \\ &= -10 \lg \left\{ \left(\sum_{\substack{j=1 \\ i < j}}^N \cos \delta_{ij} \right)^2 + \left(\sum_{\substack{j=1 \\ i < j}}^N \sin \delta_{ij} \right)^2 \right\}, \end{aligned}$$

$R \rightarrow \infty$; α_x, α_y – угловые координаты ИРИ

$|\alpha_x| \leq 90^\circ$, $|\alpha_y| \leq 90^\circ$; α_{Tx} , α_{Ty} – угловые координаты тестового ИРИ $|\alpha_{Tx}| \leq 90^\circ$, $|\alpha_{Ty}| \leq 90^\circ$.

Заключение

Предложенные математические модели удобно использовать при выборе параметров пеленгаторов путем оперативного моделирования их пеленгационных характеристик для исключения ложных пеленгов, формирования требований к неидентичностям каналов пеленгатора и уровням шумов в них.

В качестве примера, иллюстрирующего сказанное, на рис. 3 приведена пеленгационная характеристика пеленгатора, у которого пеленгационные элементы расположены по спирали на стенках цилиндра диаметром и высотой 30 см, при пеленгации ИРИ с $\Theta_u = 20^\circ$, $\beta_u = 45^\circ$ и $\lambda = 30$ см. Ось цилиндра совпадает с осью OZ.

Как следует из рисунка, пеленгатор с такой «экзотической» пеленгационной антенной решеткой имеет пеленгационную характеристику с ярко выраженным минимумом в направлении ИРИ.

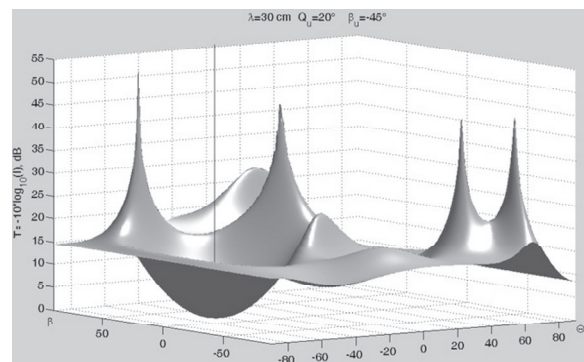


Рис. 3. Пеленгационная характеристика

Ложные минимумы на 10 дБ меньше истинного минимума, что позволяет прогнозировать низкий уровень появления ложных пеленгов.

Литература

1. Рембовский, А.М. Радиомониторинг: задачи, методы и средства / А.М. Рембовский, А.В. Ашихмин, В.А. Козыmin. – М.: Горячая линия – Телеком, 2006. – 492 с.

Поступила в редакцию 15 сентября 2012 г.